

반복신장피로에 따른 나일론 타이어코드용 섬유의 미세구조 변화

이기환, 방윤혁, 조현혹

부산대학교 공과대학 섬유공학과

1. 서 론

나일론 타이어코드용 섬유는 PET나 레이온에 비해 조종안정성이 좋지 않고 습열열화하기 쉬우며 평탄점(Flat spot)현상을 일으키기 때문에 사용량이 감소하고 있으나, 강도 및 내피로성이 우수하며 타이어의 발열이 적어 대형타이어에는 아직도 많이 사용되고 있다. 타이어코드용 섬유는 고무와 접착되어 타이어 내에서 계속적인 굽힘, 신장 및 압축변형을 받게되고, 이러한 변형에 의한 내부구조의 변화에 의해 크랙이 발생하여 파단이 일어나며, 내부구조의 변화는 주로 결정부분이 아닌 비결정부분에서 일어난다고 알려져 있다[1-2]. 나일론 타이어코드용 섬유에 관한 연구는 피로방법, 온도, 피로회수에 따른 물성의 변화, 크랙의 발생 및 파단모풀로지 등과 같은 거시적인 변화에 대해서는 많이 되어있으나[3-5], 피로초기에 발생하는 strain-hardening현상 및 비결정부분의 변화에 관한 연구는 많지 않다.

따라서 본 연구에서는 피로에 따른 내부구조의 변화를 조사하기 위하여 나일론 타이어코드용 섬유를 이용하여 반복신장피로에 따른 미세구조(주로 비결정구조)의 변화, 물성의 변화 및 모풀로지를 조사하였다.

2. 실 험

시료는 동양 T&C에서 제공한 나이론 타이어코드용 섬유를 사용하였으며 각 시료의 특성은 Table 1과 같다.

Table 1. Processing conditions of the nylon tire cord

Sample	Spinning speed(m/min)	Draw ratio	Heat set temp. (°C)	R. V.	Denier
N1	2400	4.8	200	3.24	1912

시료는 반복신장 피로방법으로 신장을 2%, 주파수 3Hz로 하여 시료에 1만, 10만, 30만, 50만, 70만 사이클의 피로를 가하여 준비하였다. 시료의 결정구조는 X-선회절장치, 밀도는 밀도구배관, 분자배향은 편광현미경, 비정분산은 Rheovibron, 열적성질은 DSC를 이용하여 측정하였다.

3. 결과 및 고찰

Fig. 1은 광각 X-선회절을 이용하여 구한 (200), (002)면의 미결정의 크기 및 (002)면의 배향도를 나타낸 것이다. 피로회수의 증가에 따른 미결정의 크기 및 배향도는 거의 변화하지 않는 것으로 보아, 결정부분은 반복신장피로에 의한 영향을 받지 않음을 알 수 있다.

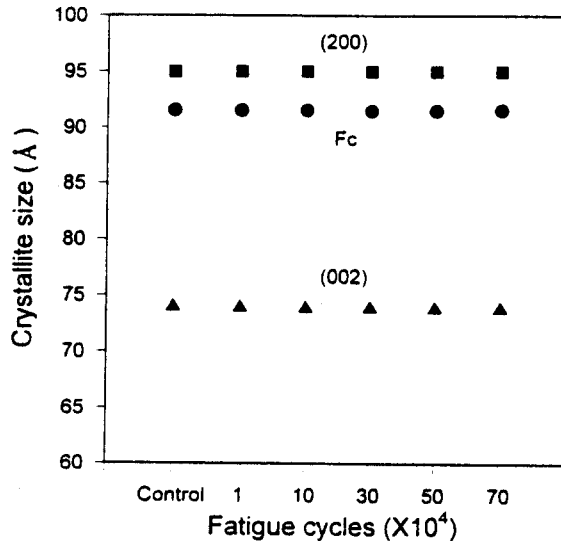


Fig. 1 Crystallite size of (200), (002) and orientation factor of (002) with fatigue cycles for N1 sample.

Fig. 2는 반복신장피로에 따른 열적성질을 나타낸 것으로, 피로회수의 증가에 따른 T_m 은 거의 변화를 보이지 않고 있다. 이는 반복신장피로에 있어 결정부분은 영향을 받지 않음을 나타내고 있는 것으로 미결정크기의 변화와 유사한 경향을 보이고 있다.

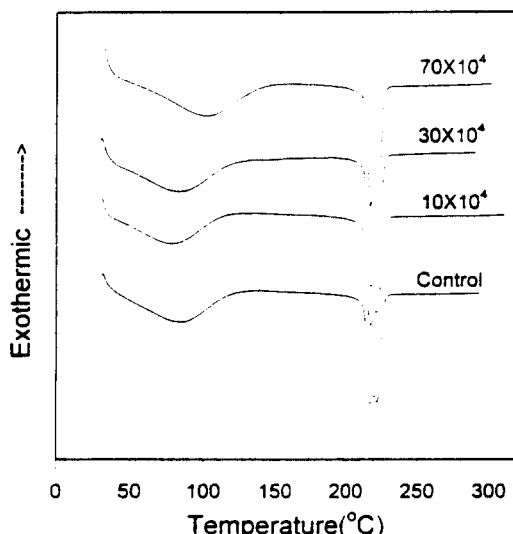


Fig. 2 DSC curves with fatigue cycles for N1 sample.

Fig. 3은 반복신장피로에 따른 복굴절률과 비정배향도의 변화를 나타낸 것이다. 복굴절률과 비정배향도는 피로초기부분(피로회수 1만)에서 증가를 보이며, 그 후 피로회수의 증가에 따라 감소현상을 보이고 있다. 이는 반복신장피로에 의한 미세구조의 변화는 비결정부분에서 일어남을 나타내고 있다.

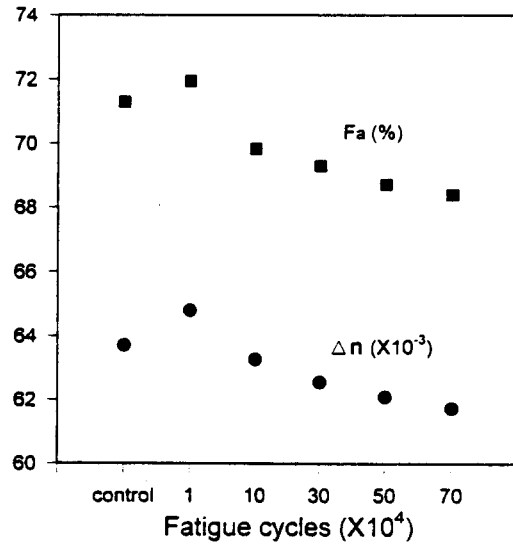


Fig. 3 Change of birefringence and amorphous orientation factor with fatigue cycles for N1 sample.

Fig. 4는 반복신장피로에 따른 밀도의 변화를 나타낸 것이다. 피로회수 1만일 때 밀도는 조금 증가하였으며, 그 후 피로회수의 증가에 따라 감소하는 현상을 보이고 있다. 피로초기부분(피로회수 1만)에서의 밀도의 증가는 비결정부분의 strain-hardening 효과(strain에 의한 분자사슬의 배향성의 증가에 따른 구조의 치밀화)때문으로 생각되며[6], 밀도의 감소는 사슬의 절단현상에 의한 것으로 생각된다.

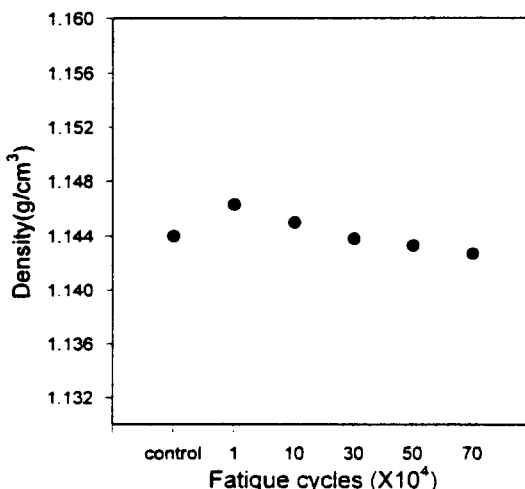


Fig. 4 Change of density with fatigue cycles for N1 sample.

Fig. 5는 피로회수에 따른 $\tan \delta$ 를 나타낸 것으로 극대점에서의 $\tan \delta$ 를 보면 피로회수 1만일 때에서는 감소를 보이고, 그후 10만, 30, 50만, 70만에서는 증가하는 경향을 보이고 있다. 이는 Fig. 3, 4의 밀도 및 비정배향도의 변화와 유사한 경향을 보이고 있다.

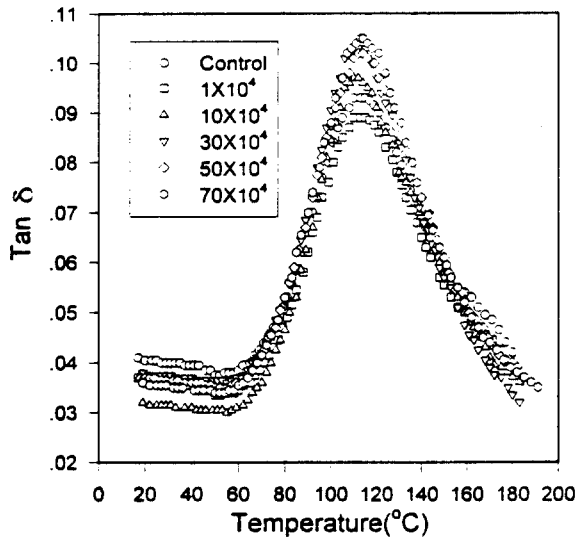


Fig. 5 Change of $\tan \delta$ with fatigue cycles for N1 sample.

4. 참 고 문 헌

1. A. Ramirez, J. A. Manson and R. W. Hertzberg, *Polymer Eng. Sci.*, **22**, 975 (1982).
2. A. R. Bunsell and J. W. Hearle, *J. Appl. Polym. Sci.*, **18**, 267 (1974).
3. 石川欣造, 日本ゴム協会誌, **44**, 259 (1971).
4. A. K. Mukherjee and B. D. Gupta, *J. Appl. Polym. Sci.*, **30**, 4417 (1985).
5. 宮本宗一, 驚見保俊, 藤本典秀, 日本ゴム協会誌, **38**, 48 (1965).
6. H. H. Cho, S. J. Kim and M. S. Rhim, *J. Korean Fiber Soc.*, **29**, 57 (1992).